

## ИЗЛУЧЕНИЕ ДВУХ ФОТОНОВ В ЗАДАННЫЙ УГОЛ ПРИ ЭЛЕКТРОННЫХ СТОЛКНОВЕНИЯХ

*В. Н. Байер, В. С. Фадин, В. А. Хозе*

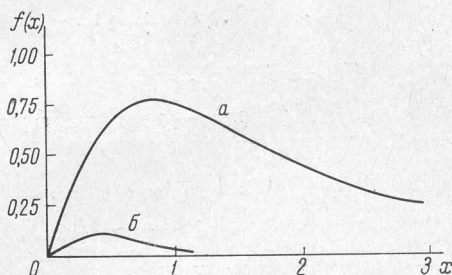
Рассмотрен процесс излучения двух фотонов с произвольной энергией в заданный угол при электронных столкновениях. Полученное сечение  $d\sigma_{\omega_1, \omega_2}$  имеет вид полинома по степеням  $\omega_1, \omega_2$ . В случае, когда угловые размеры детекторов  $\vartheta_0$  порядка  $1/\gamma$ , коэффициенты при степенях  $\omega_{1,2}$  вычислены численно. В случае  $\vartheta_0 \gg 1/\gamma$  получено аналитическое выражение для сечения.

1. Процесс излучения двух фотонов с произвольной энергией при электронных столкновениях был исследован в работах Галицкого и одного из авторов [1-3]. Этот процесс представляет большой интерес для ставящихся в настоящее время опытов на встречных пучках по двум причинам: 1) он может быть использован в качестве монитора для регистрации столкновения пучков; 2) в случае электрон-позитронных соударений процесс двойного тормозного излучения конкурирует с процессом двухквантовой аннигиляции; это связано с тем, что сечение двойного тормозного излучения, в отличие от сечения двухквантовой аннигиляции, не падает с ростом энергии сталкивающихся частиц.

Ранее [1-3] с точностью до членов порядка  $\gamma^{-2}$  ( $\gamma = \varepsilon/m$ ,  $\varepsilon$  — энергия начальных электронов в СЦМ) было найдено сечение двойного тормозного излучения  $d\sigma_{\omega_1, \omega_2}$ , проинтегрированное по конечным состояниям электронов

(поскольку электроны не регистрируются) и по всем углам вылета фотонов (что предполагает, что угловые размеры детекторов фотонов значительно превышают характерный угол излучения  $1/\gamma$ ). Однако в реальных экспериментах по исследованию двойного тормозного излучения, которые ставятся при относительно малых энергиях, угловые размеры детекторов  $2\vartheta_0$  сравнимы с величиной  $1/\gamma$  (например, на установке ВЭП-1 в Новосибирске [4]  $\varepsilon = 43$  Мэв,  $\vartheta_0 \sim 3/\gamma$ ). В связи с этим представляет интерес сечение излучения двух фотонов в заданный угол. Мы будем для простоты предполагать, что углы обоих детекторов одинаковы  $\vartheta_{10} = \vartheta_{20} = \vartheta_0$ , хотя, как показано в конце статьи, предлагаемый подход элементарно обобщается на случай детекторов разных размеров.

2. Для качественного понимания ситуации, возникающей в данной задаче, рассмотрим излучение классических фотонов [1]. В этом случае легко получить сечение излучения в заданный угол, поскольку независимо интегрируется вклад каждого из классических токов. Рассмотрим интеграл



<sup>1</sup> В статье используются обозначения, принятые в [1-3].

по квадрату передачи импульса  $\Delta^2/m^2 = 4x^2$  (формула (53) предыдущей работы [2]). Подынтегральная функция  $f(x)$  приведена на рисунке для случаев: 1) разрешены все углы вылета фотонов ( $f(x) = \Phi^2(x^2)/x^3$ ) — кривая *a*; 2) угол вылета фотонов не больше  $\vartheta_0 = 1/\gamma$  — кривая *b*. Видно, что основной вклад в интеграл вносит область  $x \sim 1$ . Поскольку характерный угол излучения фотонов  $\vartheta_h \sim 1/\gamma$ , то при  $\vartheta_0 = 1/\gamma$  мы обрезаем значительную часть области интегрирования по углу вылета фотона, что существенно уменьшает подынтегральную функцию при интегрировании по  $x$ , тем более, что это относится к каждому из двух фотонов. Кроме того, при  $x > 1$  вероятность излучения фотона мала при малых  $\vartheta_h$  и достигает максимума только при  $\vartheta_h \sim 1/\gamma$ , что приводит к дополнительному подавлению подынтегральной функции при  $\vartheta_0 = 1/\gamma$ , которая, таким образом, спадает быстрее при  $x > 1$ .

В результате сечение излучения в угол  $\vartheta_0 = 1/\gamma$  составляет лишь малую долю сечения излучения, проинтегрированного по всем углам вылета фотонов.

3. Перейдем теперь к рассмотрению излучения фотонов с произвольной энергией в заданный угол. С этой целью преобразуем формулу (3) в [3] к следующему виду <sup>2)</sup>:

$$d\sigma = \frac{2\alpha^4}{(2\pi)^3} \frac{d\xi_1}{\xi_1} \frac{d\xi_2}{\xi_2} \int \frac{d\Delta^2}{\Lambda^4} dR_1 dR_2, \quad (1)$$

где

$$dR_1 = \left[ -\frac{4}{\kappa_3^2} + \frac{\Delta^2[1 + (1 - \xi_1)^2] + 4(1 - \xi_1)}{2\kappa_1 \kappa_3} - \frac{(1 - \xi_1)^2}{\kappa_1^2} \right] \cdot \delta(p_1 + \Delta - p_3 - k_1) \xi_1 \frac{d^3 p_3}{\varepsilon_3} d\kappa_1 d\kappa_3 d\varphi_1, \quad (2)$$

$$dR_2 = dR_1(p_1 \rightarrow p_2, p_3 \rightarrow p_4, k_1 \rightarrow k_2, \Delta \rightarrow -\Delta, \varphi_1 \rightarrow \varphi_2);$$

здесь  $p_1, p_2$  ( $p_3, p_4$ ) — импульсы начальных (конечных) электронов,  $k_1, k_2$  — импульсы фотонов,

$$\xi_i = \omega_i / \varepsilon, \quad \kappa_1 = -(k_1 p_1), \quad \kappa_2 = -(k_2 p_2), \\ \kappa_3 = -(k_1 p_3), \quad \kappa_4 = -(k_2 p_4),$$

$\varphi_{1,2}$  — азимутальные углы вылета фотонов в СЦМ при условии, что за полярные оси приняты соответственно направления векторов  $\mathbf{p}_1, \mathbf{p}_2$ . Поскольку интегрирование по углам вылета фотона (переменные  $\kappa_1, \kappa_2$ ) ведется в заданных пределах, оказывается целесообразным изменить порядок интегрирования, принятый ранее [2, 3], и выполнить сначала интегрирование по переменным  $\kappa_3, \kappa_4$ .

Выполняя интегрирование по  $d^3 p_3 d\varphi_1$ , получаем

$$\int \delta(p_1 + \Delta - k_1 - p_3) \frac{d^3 p_3}{\varepsilon_3} d\varphi_1 = \frac{2}{g \sin \varphi_1}, \quad (3)$$

где  $g \sin \varphi_1 = \sqrt{U_1}$ ;  $U_1$  есть квадратичная форма  $\kappa_3$ :

$$U_1 = c\kappa_3^2 + b\kappa_3 + a. \quad (4)$$

Пределы интегрирования по  $\kappa_3$  определяются нулями функции  $U_1$ . Этот факт легко понять с помощью простых кинематических соображений. Дело в том, что  $\varphi_1$  есть угол между плоскостями  $(\mathbf{p}_1, \Delta)$  и  $(\mathbf{p}_1, \mathbf{k}_1)$ , причем угол между векторами  $\mathbf{p}_1$  и  $\mathbf{k}_1$  является постоянным (поскольку фиксирована величина  $\kappa_1 = -(\mathbf{p}_1 \mathbf{k}_1)$ ). При изменении  $\varphi_1$  от нуля до  $2\pi$  функция

<sup>2)</sup> Отсюда и далее  $m = 1$ .

$\kappa_3 = \kappa_3(\cos \varphi_1)$  пробегает все значения внутри интервала интегрирования, тогда пределы интегрирования по  $\kappa_3$  определяются из условия  $d\kappa_3/d\varphi_1 = 0$ , из которого следует  $\sin \varphi_1 = 0$ . При этом все четыре вектора  $\mathbf{p}_1, \mathbf{p}_3, \mathbf{k}_1, \Delta$  лежат в одной плоскости.

В соответствии с постановкой задачи мы будем вычислять старший член разложения сечения по степеням  $\varepsilon^{-2}$  [2, 3]. Поскольку мы будем вести интегрирование по  $\kappa_1$  до верхнего предела  $\kappa_{1max} \ll \varepsilon^2$ , то в выражении для  $U_1$  (коэффициенты  $a, b, c$  в формуле (4)) мы отбросим члены порядка  $\kappa_1/\varepsilon^2$ . Более того, в случае произвольных углов излучения фотона верхний предел интегрирования по  $\kappa_1$  пропорционален  $\varepsilon^2$  и поэтому, ввиду сходимости интеграла, с принятой точностью может быть положен равным бесконечности. В силу этого основной вклад в интеграл по  $\kappa_1$  дают малые  $\kappa_1$  ( $\kappa_1 \sim 1$ ), так что всегда можно отбросить члены  $\kappa_1/\varepsilon^2$  [2]. Вследствие того, что на верхней границе области интегрирования по переменным  $\kappa_3, \kappa_4$  эти величины порядка  $\kappa_1, \kappa_2, \Delta^2$  (а не  $\varepsilon^2$ ), и с учетом того, что основной вклад в интегральное сечение дают  $\kappa_1, \kappa_2 \sim 1$  (см. выше) и  $\Delta^2 \sim 1$  [2, 3], мы отбросим также члены  $\sim \kappa_4/\varepsilon^2$ . Сделав указанные выше пренебрежения, получаем

$$c = -(1 - \xi_1)^2, \quad b = 2(1 - \xi_1) \left[ \kappa_1 + \frac{\xi_1 \Delta^2}{2} \right],$$

$$a = - \left( \kappa_1 - \frac{\xi_1 \Delta^2}{2} \right)^2 - \xi_1^2 \Delta^2. \quad (5)$$

Видно, что функция  $U_1$  не содержит величины  $\kappa_4$ . Таким образом, с указанной точностью оказывается возможным независимо проводить интегрирование по переменным, относящимся к каждому из фотонов [2, 3].

Интегрируя  $R_1$  по  $\kappa_3$ , получаем

$$\int_{\kappa_3} dR_1 = 2\pi\xi_1 \left[ -\frac{b}{2(-a)^{3/2}} + \frac{\Delta^2[1 + (1 - \xi_1)^2] + 4(1 - \xi_1)}{2\kappa_1(-a)^{1/2}} - \left( \frac{1 - \xi_1}{\kappa_1^2} \right) \right] d\kappa_1. \quad (6)$$

Имеем также

$$\int_{\kappa_4} dR_2 = \int_{\kappa_3} dR_1 \left( \begin{matrix} \kappa_1 \rightarrow \kappa_2 \\ \xi_1 \rightarrow \xi_2 \end{matrix} \right). \quad (7)$$

Приступим теперь к интегрированию по  $\kappa_1$ . Нижний предел интегрирования определяется из условия  $\vartheta_h = 0$ , откуда с точностью до членов  $\varepsilon^{-2}$  получаем  $\kappa_{1min} = \xi_1/2$ . Верхний предел интегрирования по  $\kappa_1$  определяется предельным углом вылета фотона  $\vartheta_0$ :

$$\kappa_{1max} = \xi_1 \varepsilon^2 (1 - \beta \cos \vartheta_0) = \xi_1 \kappa_0.$$

Если представить  $\vartheta_0 = n/\varepsilon$ , то  $\kappa_0 = n^2/2$  при  $n \ll \varepsilon$ . Проводя элементарное интегрирование по  $\kappa_1$  (и соответственно  $\kappa_2$ ), получаем следующее выражение для сечения двойного тормозного излучения:

$$d\sigma = \frac{8r_0^2 \alpha^2}{\pi} \frac{d\xi_1}{\xi_1} \frac{d\xi_2}{\xi_2} \int \frac{dx}{x^3} \cdot \left\{ (1 - \xi_1) \Phi(x^2) + \xi_1^2 \frac{x}{\sqrt{1+x^2}} \ln(x + \sqrt{1+x^2}) - F(x, \kappa_0, \xi_1) \right\} \cdot$$

$$\cdot \left\{ (1 - \xi_2) \Phi(x^2) + \xi_2^2 \frac{x}{\sqrt{1+x^2}} \ln(x + \sqrt{1+x^2}) - F(x, \kappa_0, \xi_2) \right\}, \quad (8)$$



где

$$F(x, \kappa_0, \xi_1) = \frac{1}{4} \left[ \frac{(1 - \xi_1) + [2(1 - \xi_1) + \xi_1^2] x^2}{x \sqrt{1 + x^2}} \right].$$

$$\cdot \ln \left( \frac{2x(1 - x^2) - x\kappa_0 + \sqrt{(1 + x^2)R_0}}{\kappa_0[\sqrt{1 + x^2} - x]} \right) - (1 - \xi_1) \left( 1 + \frac{1}{\kappa_0} + \frac{1 - \kappa_0 + 2x^2}{\sqrt{R_0}} \right) \Bigg], \quad (9)$$

$$R_0 = (2x^2 - \kappa_0)^2 + 4x^2. \quad (10)$$

Ясно, что при  $\kappa_0 \rightarrow \infty$  функция  $F(x, \kappa_0, \xi_1) \rightarrow 0$ , так что формула (8) переходит в формулу (4) из [3]. Легко видеть, что при  $x \rightarrow 0$  слагаемое  $F(x, \kappa_0, \xi_1)$ , подобно остальной части выражения, стоящего в фигурных скобках, пропорционально  $x^2$ , так что, как и прежде, нижний предел интегрирования по  $x$  можно положить равным нулю. Аналогично, верхний предел интегрирования по  $x$  можно положить равным бесконечности.

4. Входящие в формулу (8) однократные интегралы не удается вычислить в аналитическом виде, поэтому они были вычислены с помощью ЭВМ — электронной вычислительной машины М-20.

Сечение двойного тормозного излучения в заданный угол представим в виде

$$d\sigma_{\omega_1, \omega_2} = \frac{8r_0^2 \alpha^2}{\pi} \left\{ \left( 1 - \frac{\omega_1}{\varepsilon} \right) \left( 1 - \frac{\omega_2}{\varepsilon} \right) \eta_1(n) + \left[ \left( 1 - \frac{\omega_1}{\varepsilon} \right) \frac{\omega_2^2}{\varepsilon^2} + \left( 1 - \frac{\omega_2}{\varepsilon} \right) \frac{\omega_1^2}{\varepsilon^2} \right] \eta_2(n) + \frac{\omega_1^2 \omega_2^2}{\varepsilon^4} \eta_3(n) \right\} \frac{d\omega_1 d\omega_2}{\omega_1 \omega_2}. \quad (11)$$

Численные значения функций  $\eta_m(n)$  приведены в табл. 1.

Таблица 1

Значения коэффициентов  $\eta_m(n)$  в формуле (11)

n ( $\theta_0 = \frac{n}{\varepsilon}$ )	$\eta_1(n)$		$\eta_2(n)$		$\eta_3(n)$	
	ЭВМ	Формула (12)	ЭВМ	Формула (12)	ЭВМ	Формула (12)
1	0,081	—	0,065	—	0,053	—
2	0,406	—	0,311	—	0,237	—
3	0,743	—	0,555	—	0,412	—
4	1,02	1,07	0,744	0,748	0,543	0,534
5	1,23	1,24	0,885	0,881	0,638	0,631
10	1,77	1,77	1,23	1,23	0,863	0,862

5. В области значений  $1 \ll n \ll \varepsilon$  оказывается возможным получить аналитическое выражение для искомого сечения. В этом случае асимптотические выражения для коэффициентов  $\eta_m(n)$  в формуле (11) имеют вид

$$\eta_1(n) = \frac{5}{4} + \frac{7}{8} \zeta(3) - \frac{1}{n^2} \left[ 10 \ln^2 n - \frac{\pi^2}{2} + \frac{11}{2} \right],$$

$$\eta_2(n) = \frac{1}{2} + \frac{7}{8} \zeta(3) - \frac{1}{2n^2} \left[ 10 \ln^2 n + 5 \ln n - \frac{\pi^2}{2} + \frac{9}{2} \right], \quad (12)$$

$$\eta_3(n) = \frac{7}{8} \zeta(3) - \frac{1}{2n^2} \left[ 5 \ln^2 n + 5 \ln n - \frac{\pi^2}{4} + \frac{5}{2} \right].$$

Как видно из табл. 1, начиная с  $n = 4$ , результаты, получаемые с помощью формул (12), находятся в хорошем соответствии с результатами численного расчета.

6. Мы рассмотрели случай симметричных детекторов. В случае несимметричных детекторов можно непосредственно воспользоваться формулой (8), только функции  $F(x, \kappa_{0i}, \xi_i)$  будут зависеть каждая от своего предельного угла. Особый интерес представляет случай, когда угловые размеры одного из счетчиков очень велики ( $\theta_{20} \gg 1/\epsilon$ ), а второго — малы ( $\theta_{10} \sim 1/\epsilon$ ), тогда для одного из фотонов можно провести интегрирование по всем углам вылета фотона (как в [1-3]), а для рассмотрения излу-

Т а б л и ц а 2

Значения коэффициентов  $\mu_m(n)$  в формуле (13)

$n$ ( $\theta_0 = \frac{n}{\epsilon}$ )	$\mu_1(n)$		$\mu_2(n)$		$\mu_3(n)$		$\mu_4(n)$	
	ЭВМ	Формула (14)	ЭВМ	Формула (14)	ЭВМ	Формула (14)	ЭВМ	Формула (14)
1	0,299	—	0,281	—	0,215	—	0,199	—
2	0,805	—	0,628	—	0,568	—	0,441	—
3	1,16	—	0,859	—	0,811	—	0,601	—
4	1,40	1,40	1,01	1,01	0,972	0,956	0,705	0,696
5	1,56	1,56	1,12	1,12	1,08	1,07	0,776	0,770
10	1,95	1,95	1,35	1,35	1,34	1,34	0,930	0,930

чения второго фотона воспользоваться подходом настоящей статьи. Сечение процесса представим в виде

$$d\sigma_{\omega_1, \omega_2} = \frac{8r_0^2 \alpha^2}{\pi} \left\{ \left(1 - \frac{\omega_1}{\epsilon}\right) \left(1 - \frac{\omega_2}{\epsilon}\right) \mu_1(n) + \left(1 - \frac{\omega_2}{\epsilon}\right) \frac{\omega_1^2}{\epsilon^2} \mu_2(n) + \left(1 - \frac{\omega_1}{\epsilon}\right) \frac{\omega_2^2}{\epsilon^2} \mu_3(n) + \frac{\omega_1^2 \omega_2^2}{\epsilon^4} \mu_4(n) \right\} \frac{d\omega_1 d\omega_2}{\omega_1 \omega_2}. \quad (13)$$

Значения функций  $\mu_m(n)$  приведены в табл. 2. Для случая  $1 \ll n \ll \epsilon$  легко получить также асимптотические выражения для этих функций:

$$\begin{aligned} \mu_1(n) &= \frac{5}{4} + \frac{7}{8} \zeta(3) - \frac{3}{n^2} [2 \ln^2 n + 1], \\ \mu_2(n) &= \frac{1}{2} + \frac{7}{8} \zeta(3) - \frac{1}{n^2} \left[ 3 \ln^2 n + \ln n + \frac{3}{2} \right], \\ \mu_3(n) &= \frac{1}{2} + \frac{7}{8} \zeta(3) - \frac{1}{n^2} [3 \ln^2 n + 2 \ln n + 1], \\ \mu_4(n) &= \frac{7}{8} \zeta(3) - \frac{3}{2n^2} \left[ \ln^2 n + \ln n + \frac{1}{2} \right]. \end{aligned} \quad (14)$$

Эти выражения, так же как формула (12), начиная с  $n = 4$ , находятся в хорошем согласии с результатами численного расчета (см. табл. 2).

Авторы выражают благодарность А. П. Онучину за обсуждение вопросов, связанных с экспериментом, и Г. И. Русовой и Э. З. Боровской за помощь в численных расчетах.

**Литература**

- [1] V. N. Bayer, V. M. Galitsky. Phys. Letters, **13**, 355, 1964.  
[2] В. Н. Байер, В. М. Галицкий. ЖЭТФ, **49**, 661, 1965.  
[3] В. Н. Байер, В. М. Галицкий. ЖЭТФ, Письма, **2**, 259, 1965.  
[4] Г. И. Будкер, Е. А. Кушниренко, А. А. Наумов и др. Доклад на Международной конференции по ускорителям во Фраскати, 1965.

---

**EMISSION OF TWO PHOTONS INTO A GIVEN ANGLE  
IN ELECTRON COLLISIONS**

*V. N. Bayer, V. S. Fadin, V. A. Khoze*

Emission of two photons of arbitrary energy into a given angle in electron collisions is considered. The cross section  $d\sigma_{\omega_1\omega_2}$  is a polynomial in powers of  $\omega_1$ ,  $\omega_2$ . The coefficients of this polynomial are calculated numerically for the case when the angular dimensions of the detectors  $\vartheta_0$  are of the order of  $1/\gamma$ . For  $\vartheta_0 \gg 1/\gamma$  an analytic expression for the cross section has been obtained.

---